

&lt;論 文&gt;

# 流域 물收支調查를 爲한 水文氣象學의 基礎資料分析

李 光 浩

## Abstract

This article includes hydrometeorological analysis of evapotranspiration and precipitation, which are used available basic data for a certain basin water budget.

Evapotranspiration on water surface, bare soil and rice fields is directly measured by Thornthwaite's type Lysimeter and on water surface and vegetables computed using the Penman's equation.

Areal precipitation is analyzed through the Thiessen method and arithmetic mean method.

It is interesting fact that the correlation coefficient for Class A Pan's evaporation vs. the actual evapotranspiration is the highest value among the coefficients for different type evaporimeter and Penman equation, and evaporation ratio on rice field's evapotranspiration vs. Class A Pan's evaporation is 1.5-2.3.

## I. 序 論

어떤 流域에 降水의 形態로서 落下된 물은 그一部가 蒸發에 依하여 大氣中으로 돌아가고 나머지는 流出 또는 地下水로서 江을 通하여 바다로 흘러가게 된다. 이와같이 물收支를 構成하고 있는 降水·蒸發散·流出 및 土壤水分 變化의 各 成分量은 그 流域의 氣候學의 倡條과 被覆狀態, 土壤의 種類 및 構造·傾斜等 物理的인 性質에 依하여 決定된다.

氣候의 濕潤示數를 調查하기 爲하여 Muhry는 1860年에 처음으로 世界降水量 分布圖를 作成하였으며 1894年 美國의 Weather Bureau는 Div. of Agricultural Soil를 신설, 土壤水分을 調查하기 始作하였다. 한편 Thornthwaite(1931)는 美國에서 降水量과 蒸發量과의 比를 月降水量과 氣溫으로서 얻을 수 있는 經驗式을 誘導하였다. 또한 Kittredge(1938)과 Reichel(1952)은 각各 美國과 Iberian半島의 蒸發散量 分布圖를 作成하였다.

이와같이 過去에는 氣候學의 見地에서 相對的인 量正會員. 中央觀象臺研究調查部

으로 물收支를 다루어 왔으나 最近에 와서는 人口가 急增하고 文化가 高度로 發達함에 따라 水資源開發과 管理問題가 國家의 經濟發展에 큰 比重을 차지하게 되어 水文氣象學의 活用面에서 물收支를 調査하게 되었다.

最近 이러한 問題는 世界共通課題로서 대두되어 WMO, IHD, UNESCO, FAO 等 國際機構에서 U.N各會員國에 研究調查토록 권장하고 있다. 이에 呼應하여 1970년 英國에서는 물收支에 관한 Symposium이 開催되어 많은 論文이 發表된 바 있다.

한편 우리나라에서는 1969年부터 IHD 그 사업의 일환으로 建設部에서는 代表試驗流域을 設定, 물收支調査를 하고 있다.

本論文에서는 流域 물收支調查에 基礎가 되는 降水量, 蒸發散量에 對해 調査하였다. 即 降水量은 洛東江流域을 對象으로 하여 몇 가지 分析方法에 依해 面積降水量을 求하여 比較·檢討하였다. 한편 水原農業氣象觀測所에 被覆狀態별로 LYSIMETER를 設置하여 蒸發散量을 觀測하였으며 이렇게 觀測된 증발산량과 間接的인 方法으로 求한 증발산량과의 相關性을 求하여 實際 蒸發散模型을 導出하기 爲한 基礎資料로 삼았다. 그리고 蒸發計 面積에 따른 蒸發比를 求하여 比較·檢討하였다.

## II. 資 料

### 1. 蒸發散量

1971年 4月 1日 ~ 10月 30日까지 水原農業氣象觀測所에서 被覆狀態別로 Thornthwaite형의 Lysimeter로 觀測된 資料를 利用하였으며 蒸發散量은 Class A Pan과 소형증발계로 관측된 資料를 利用하였다. 이 밖에 間接的인 方法에 依한 蒸發散算定은 為한 氣象要素를 觀測하여 資料로 삼았다.

### 2. 降水量

洛東江流域의 4個 觀測所(大邱, 釜山, 蔚山, 秋風嶺) 및 80~90個의 雨量觀測所의 資料를 利用하였다.

## III. 理論 및 方法

### 1. 蒸發散量 算定

本論文에서 蒸發散量은 直接 測定하는 물收支法과 間接의 方式로 算定하는 結合法을 써서 求하였다.

#### a. 物收支法

어떤期間에 주어진 깊이의 土量層에 對한 物收支

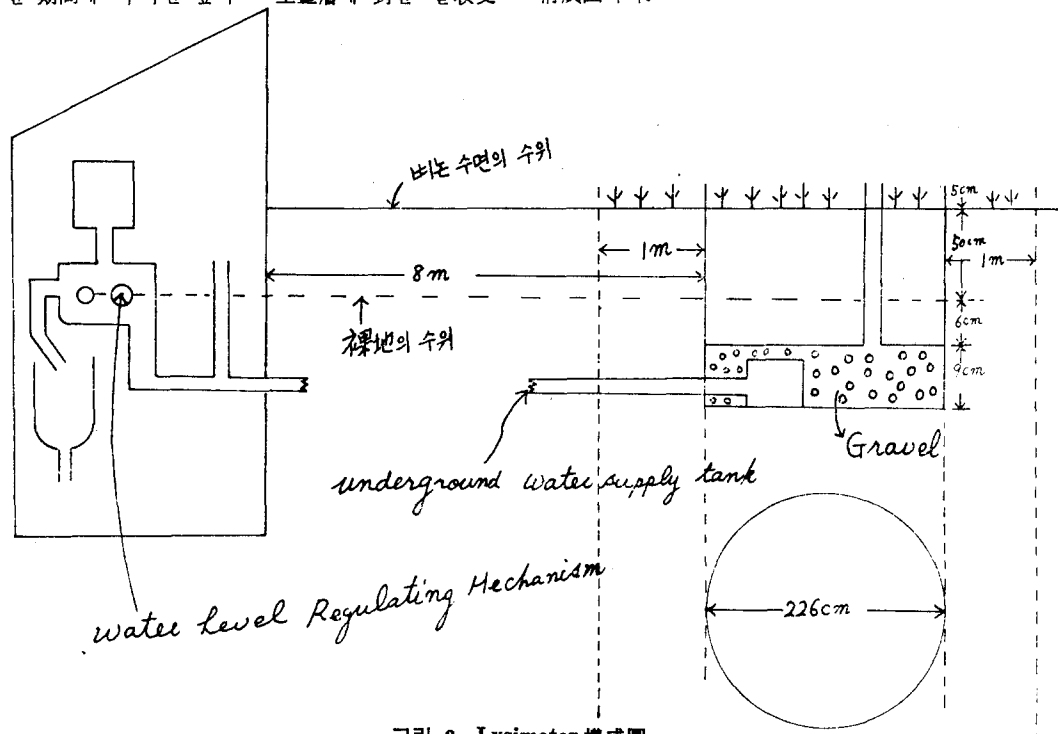


그림 1. 物收支

$$\text{即 } E \approx P - UD (\Delta ST \approx 0) \dots \dots \dots (2)$$

로 하여 求한다. (그림 2)는 여기서 使用된 Lysimeter構成圖이다.

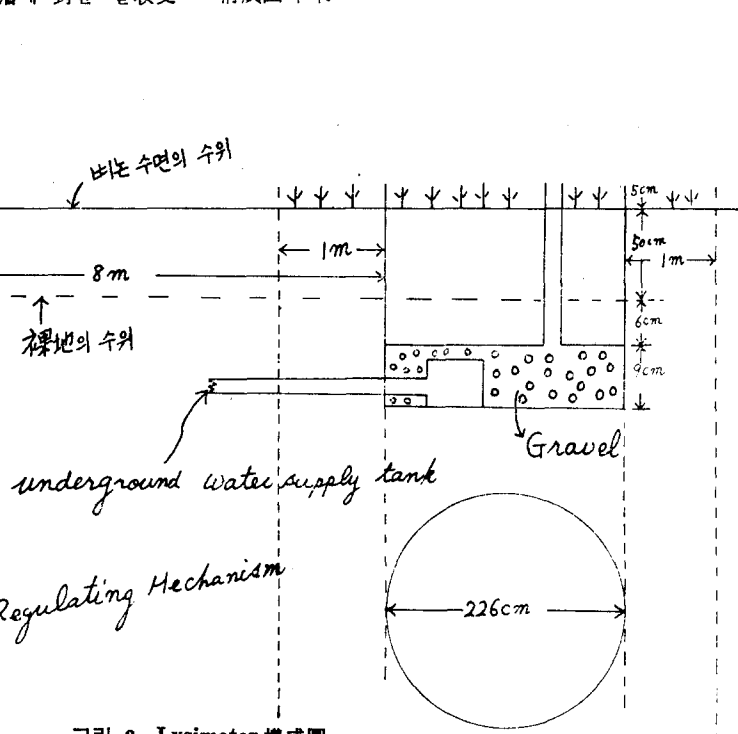


그림 2. Lysimeter構成圖

式은

$$P = E + RO + UD + \Delta ST \dots \dots \dots (1)$$

여기서

$P$ : 降水量  $E$ : 蒸發散量

$RO$ : 流出量  $UD$ : 地下浸透量

$\Delta ST$ : 水分變化量

으로 주어진다. 本論文에서 使用된 排水式 Lysimeter에 對해서는 (1)式에서  $RO$ 를 無視하거나 한곳에 모아 測定하고  $UD$ 를 Lysimeter의 Tank底面의 排水管을 通하여 測定하면 된다. 그리고  $\Delta ST$ 는 土壤水分이 圃場用水量까지 達했을 때의 始終을 물收支期間으로 잡으면 零이 된다.

**b. 結合法**

間接的인 蒸發散算定에는 氣候學의인 方法, 亂流變動法, 空氣力學의인 方法, 热收支法 等 여러가지가 있으나 實用的인 面과 可能한 面을 考慮하여 結合法을 써서 蒸發散量을 算定하였다.

Penman(1948)은 Dalton 형의 蒸發式과 热收支式을 結合하여 다음과 같은 式을 誘導하였다.

$$E = \frac{AR_n + \gamma LE_a}{L(\Delta + \gamma)} \quad \dots \dots \dots (3)$$

여기서  $E$ 는 증발량 또는 증발산량(mm/day),  $\Delta$ 는 氣溫에 對한 饱和蒸氣壓曲線의 勾配(mb/°C)

$$\text{즉 } \Delta = \frac{de_a}{dt} = \frac{e_a}{T} \left( \frac{6790.498}{T} - 5.02808 \right)$$

여기서  $e_a$ 는 氣溫에 對한 饱和蒸氣壓(mmHg)으로 다음 式으로 表示된다.

$$e_a = \exp(54.878919 - \frac{6790.4985}{T} - 5.02808 \log_e T)$$

그리고  $R_n$ 은 純輻射量(증발량의 단위 mm/day)이며 다음 式으로 表现된다.

$$R_n = (1-\alpha)RA(0.18 + 0.55n/N) - \sigma T^4(0.56 - 0.092\sqrt{ed})(0.10 + 0.90n/N)$$

위 式에서  $\alpha$ 는 Albedo(水面의 境遇 0.05, 草地인 境遇 0.25를 使用함)이며  $RA$ 는 大氣의 上部에 垂直으로 入射하는 短波輻射의 理論值(蒸發量의 單位 mm/day)이다. 그리고  $\sigma T^4$ 는 溫度  $T$ 에 對한 黑體輻射量(蒸發量의 單位 mm/day)이며  $\sigma$ 는 Stefan-Boltzman 상수이며  $1.171 \times 10^{-7} \text{ cal cm}^{-2} \text{ deg}^{-4} \text{ day}^{-1}$ 이다.

$\gamma$ 는 Psychrometric Constant(mb/°C)로서 다음과 같이 表示하여 求한다.

$$\gamma = 0.00066(1 + 0.00115t_w)P$$

$$\begin{cases} t_w : \text{습구온도} (\text{°C}) \\ P : \text{氣壓} (\text{mb}) \end{cases}$$

$E_a$ 의 空氣力學의成分은 각 被覆狀態에 따라 다음과 式으로 表示된다.

$$\text{i) 水面에 對하여 : } E_a = 0.35(e_a - e_d)(0.5 + \frac{U_2}{100})$$

$$\text{ii) 草地에 對하여 : } E_a = 0.35(e_a - e_d)(1 + \frac{U_2}{100})$$

여기서  $e_a$ 는 氣溫에 對한 饱和蒸氣壓(mmHg),  $e_d$ 는 蒸氣壓(mmHg),  $U_2$ 는 2m 高度에서의 24時間 風程(mile/day)이다.

$L$ 는 蒸發潛熱(Cal/day)이고 溫度  $t^\circ\text{C}$ 일 때 다음 式으로 表示하여 求했다.

$$L = 595.9 - 0.545t$$

2m 高度에서의 風速은 Purvis(1961)의 다음과 같은 對數法則을 利用했다.

$$U_2 = \frac{U_h \log 6.6}{\log h}$$

이어서  $Uh$ 는  $hft$  高度에서 觀測한 風速이다.

上述의 式들은 中央電子計算所의 UNIVAC Computer를 利用하여 計算하였다.

**2. 降水量**

集水域에 내린 물의 깊이로서 表示되는 面積降水量은 算術平均法과 Thiessen法을 써서 求하였다.

**a. 算術平均法**

$$P = \frac{1}{n}(P_1 + P_2 + P_3 + \dots + P_n) \quad \dots \dots \dots (4)$$

여기서  $P$ 는 平均面積降水量(mm),  $n$ 는 觀測所數,  $(P_1, P_2, P_3, \dots, P_n)$ 은  $n$ 個 觀測所 雨量이다.

**b. Thiessen 法**

$$P = \frac{A_1 P_1 + A_2 P_2 + \dots + A_n P_n}{A_1 + A_2 + A_3 + \dots + A_n} = \frac{A_1 P_1 + A_2 P_2 + \dots + A_n P_n}{A} \quad \dots \dots \dots (5)$$

여기서  $A_1, A_2, \dots, A_n$ 은  $P_1, P_2, \dots$ 에 代表되는 小面積,  $A$ 는 全體面積이다.

(5)式에서  $W_1 = \frac{A_1}{A}, W_2 = \frac{A_2}{A}, \dots, W_n = \frac{A_n}{A}$ 으로 놓으면  $P = W_1 P_1 + W_2 P_2 + \dots + W_n P_n$ 이 된다.

관측소가 차지하고 있는 面積은 集水域內의 觀測點을 連結하여 3각形의 각목을 挽든 다음 各 三角形의 各面에 垂直二等分線을 그어 Thiessen 多角形을 만들어 Planimeter로 10回 测定하여 平均한 値을 利用하였다.

**IV. 結果 및 考察****1. 實測된 蒸發散量, 蒸發量 및 計算值 比較**

(表 1)은 月別 증발산량 및 증발량을 나타낸다. 이 표에서 보면 여의 수입기와 출수기에 해당되는 8月과 9月의 증발산량이 180~194mm로써 가장 많은 値을 보이고 있다. Lysimeter의 수면인 경우는 大體로 63~85mm, Penman式(수면)에 의한 値은 최고 144.8mm임을 알 수 있으며 草地인 경우는 最高 113.9mm를 보여 주고 있다. 한편 資料가 不足하지만 裸地의 경우가 가장 적은 値으로서 20~43mm 정도의 値을 보여 주고 있다.

表 2는 現在 각 관측소에서 관측하고 있는 Class A Pan, 소형 증발계에 의해 관측된 증발량과 Lysimeter, 計算에 의한 値과의 比를 나타낸다. 이 표에서 보면 여논의 경우가 1.0~2.3으로 가장 큰 値을 나타내며

표 1. Evaporation and Evapotranspiration

월	Penman式		LYSIMETER			소형증발계 mm	Class Pan mm
	水面	草地	水面	裸地	水田		
4	*57.9	*44.6	*39.7	*21.0	—	*62.3	*50.2
5	135.2	106.9	84.1	42.8	—	137.8	108.9
6	137.0	112.3	76.8	32.6	**74.8	135.0	103.6
7	139.9	110.5	63.4	—	123.9	112.4	89.3
8	144.8	113.9	87.0	—	193.4	136.7	107.1
9	103.2	73.1	78.8	36.8	180.3	120.9	84.0
10	60.1	40.5	72.8	25.2	—	102.5	65.1

\* 4월 15일~4월 30일의 합계

\*\* 6월 12일~6월 30일의 합계

Lysimeter(수면)의 경우가 0.5~0.7로서 가장 적은 값을 나타나고 있다.

표 2. Evaporation Ratio

월	C/A	D/A	E/A	C/B	D/B	E/B
4	1.2	0.8	—	1.0	0.6	—
5	1.3	0.8	—	1.0	0.6	—
6	1.2	0.7	—	0.9	0.6	—
7	1.6	0.7	1.5	1.0	0.5	1.0
8	1.3	0.8	2.0	1.1	0.6	1.6
9	1.2	0.9	2.3	0.9	0.7	1.6
10	0.9	1.1	—	0.6	0.7	—

(A : Class A Pan으로 관측된 증발량)

(B : 소형증발계로 관측된 증발량)

(C : Penman식으로 계산된 증발산위(수면))

(D : Lysimeter(수면)으로 관측된 증발량)

(E : Lysimeter에 논으로 관측된 증발산량)

## 2. 相關性

現在各測候所에서觀測하고 있는小型蒸發計나實測段階에 있는 Class A Pan에 의한蒸發量과 Lysimeter 및間接의in方法으로算定해 낸蒸發散量과의相關關係는蒸發散模型導出에必要하다.

表 3은相關係數를 나타낸다.

이表에서 보면蒸發面이水面인境遇는大體로 Lysimeter에依한蒸發量과 Class A Pan에 의한蒸發量과의相關係數가0.82~0.97로서가장높은相關을 나타냈으며Penman式의水面에있어서의蒸發散位와는0.39~0.54,小型蒸發計에의한蒸發量과는0.36~0.88의相關을 나타내고 있다. 이러한相關이 나타나는것을보면水面에서의蒸發量은Class A Pan에依한資料를利用하여求할수있음을시사해준다.

한편被覆狀態가벼논인境遇는水面에서와마찬가지로Class A Pan에依한값이0.42~0.77의相關을 가지고있어0.32~0.72,0.54~0.71의相關을가지고

표 3. Correlation Coefficient

	연						
	4	5	6	7	8	9	10
Lysimeter(수면)							
Class A Pan	0.91	0.90	0.97	0.92	0.86	0.90	0.82
Penman式(수면)	0.54	0.69	0.64	0.82	0.65	0.74	0.39
소형증발계	0.79	0.75	0.42	0.47	0.88	0.86	0.36
Lysimeter(벼논)							
Class A Pan	—	—	0.77	0.42	0.56	0.57	—
Penman式(초지)	—	—	0.63	0.51	0.45	0.68	—
Penman式(수면)	—	—	0.71	0.31	0.38	0.72	—
소형증발계	—	—	0.71	0.54	0.60	0.67	—

있는Penman(water)식에의한값과소형증발계에의한값보다높은相關을가지고있음을보여준다.

## 3. 降水量

그림 3, 그림 4은30년간(1931~1960)과1971년의낙동강유역에서의面積降水量分布도이다. 이表에서各測候所의Weight는大邱:0.44,蔚山:0.03,秋風嶺:0.37,釜山:0.16으로한것이다. 平年인경우全

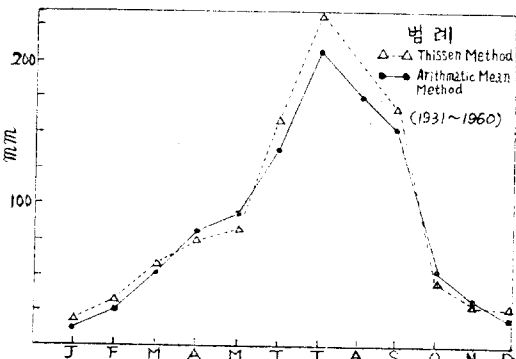


그림 3. 면적 강수량 분포(1931~1960 평균)

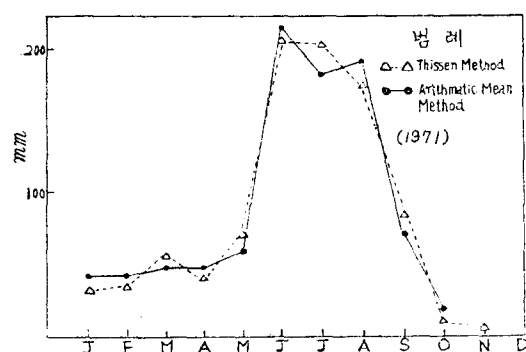


그림 4. 면적강수량 분포(1971)

年에 對한 面積降水量을 보면 Thiessen 法에 의해 求한 값이 1114.7mm로서 산술평균법에 의한 값보다 61.6mm 많게 나타난다.

그림 3과 그림 4를 보면 대체로 Thiessen 法과 산술평균법에 의해 분석된 면적강수량은 그 差가 10% 以內에 들어 있음을 알 수 있다. 전반적으로 보아서 Thiessen 法에 의한 값이 크게 나타나고 있음을 알 수 있다. 이렇게 나타나는 이유는 분명하게 논할 수는 있지만 관측소의 수나 강수의 특성때문에 생긴 것이라고 생각된다.

## V. 結 論

1. 本論文에서 얻은 폐복상태별 증발산량, 면적강수량자료는 증발산모형이나 유출량산정의 기초자료로서 유용할 것이다.

2. Class A Pan에 의한 증발량과 Lysimeter에 의한 증발산량과의 相關係數가 높게 나타나고 있는 것으로 보아 앞으로 어떤 地域의 蒸發散量을 얻기 為해서는 Class A Pan에 依한 觀測資料가 必要하다고 生覺된다.

3. 蒸發散量은 벼논의 경우가 가장 많았으며 水面, 裸地의 境遇는 그 量이 벼논의 경우보다  $1/2 \sim 1/4$  정도 적게 나타나고 있음을 알 수 있었다.

4. Class A Pan에 對한 蒸發比는 벼논의 경우가

1.5~2.3으로 가장 높았고 Lysimeter(水面)의 境遇가 0.7~0.9로서 가장 낮았다. 한편 소형증발량에 對한 증발비 역시 벼논: 1.0~1.6으로 가장 높았고 Lysimeter(수면)의 경우가 0.5~0.7로서 가장 낮음을 알 수 있었다.

〈註〉 본 論文은 중앙관상대에서 발표한 1971年度 연구사업보고서(MR-71-2)의 一部를 要約한 것이다.

## 참 고 문 헌

- 1) Slater R.O. and Mcclroy I.C., (1961) : Practical Microclimatology, CSIRO Melbourne.
- 2) Thornthwaite, C.W. and B. Holzman., (1937) : The Determination of Evaporation from land and Water Surfaces, Mon. Wea. Rev. 67, 4-11.
- 3) Penman, H.L. (1948) : Natural Evaporation from Open Water, Bare Soil and Grass, Proc. R. Soc. London; 193 Ser. A, 120-45.
- 4) Purvis, J.C., (1961) : Graphical Solution of the Penman Equation for Potential Evapotranspiration, Mon. Wea. Rev. 86, 92-96.
- 5) Thornthwaite, C.W., (1948a) : An Approach To-ward Rational Classification of Climate, Geogr, Rev., 38, 55-94.
- 6) Thornthwaite, C.W. and J.R. Mather (1957b) : Instructions and Tables for Computing Potential Evapotranspiration and the Water Balance, DREXEL Institute of Technology, Lab. of Climatology.
- 7) Linsley, R. K., Kohler, M. A., Paulhus, J. L. H., (1958) Hydrology for Engineers, McGRAW-Hill, Civil Engineering Series, pp. 32-36.
- 8) (1963) : 한국의 홍수. 건설부
- 9) Wiesner, C.J., (1970) : Hydrometeorology, Chapman and Hall Company, LTD.
- 10) 박성우(1969) : 우리나라 가용수자원에 대하여, 물의 과학, 한국수문협회, 69.5. 1호